

波と砂浜による砂の移動限界二種との関係

東京大学工学部 学生員 志中 仁

同上 正良 首藤伸夫

同上 学生員 井田茂雄

1. 本研究の目的

砂上に散在する砂粒・砂の移動限界は、波の作用によって砂が動かされる場合における「発生する」現象である。従来、底質移動現象は、単なる流速、あるいは水深、水の流量等によって、流れの強さによって現れる現象である。底質移動は、底質の堆積状態、輸送状況等によると、本論文では、流れによって現れる現象である。

2. 実験装置 及び 実験方法

水槽は幅30.4cm、深さ15.2cm、長さ11mで、側壁は「アスレチック」にて、側面から外へ運動を觀察する事ができる。水槽下端端子は、1/3、1/4式造波機を取付け、水深は2.42m、水速は35cm/secで測定され、周期は23.104、1.247secで、及高さは7.5cm程度、波を進行させた。砂の諸元は、 $d_{50}=0.64\text{mm}$ 、均等係数1.5、密度2.598g/cm³である。これを水槽二箇所に厚さ3cmと敷いた。また、二つの種の実験がある。(1) 移動限界、(2) 移動限界が複数ある時、底床実験結果より、(3) 大きな底層となる、これら、一般に、水底にはだら、りかかる値より小さい時、底層は複数ある時、(4) 大きな底層となる、これは初期の運動開始時である。Mander¹⁾は、水底の表面に比較的安定した粒子があり、これが動き出す限界(velocity limit, movement initial velocity)と名づけ、太底の第一層の砂がほとんど動き出す限界(general movement、初期移動)と呼んだ。著者らは、(1)密閉箱による移動限界を算定するために、大底の砂が動き出し、(2)底層、底層表面、(3)砂盤、(4)共二時間、(5)移動する砂粒の割合や砂の移動量などを、測定を行った。

3. 実験結果

(1) 砂の移動限界を測定する時、木底の水深と速度、底層と底層、一様水深による流速U_wと波による流速U_{sw}との相違、(2) 大底の砂層の移動限界。

$$U = U_{sw} + U_w = U_{sw} + \frac{\frac{\pi H}{L} \left(\frac{L}{T} + U_{sw} \right)}{\sinh \frac{2\pi H}{L}} \quad (1)$$

U_{sw}は底層の流量と通水断面から求め、U_wは波の頻度を算出、計算により、移動限界点でのU_w、及ばずU_wを計算した結果成績である。なお、図中には記してないが、実験ではP<0.5%、P>0.5%となる時点に、(1) 2点が並んでおり、これらに付随する点を(2) 2点とする。P=0.5%の時は(1)と(2)は同じ、上方にP>0.5%、下方にP<0.5%、領域が競りられた、U_wとU_{sw}の点はShields²⁾のデータを0.03として求めた点である。またU_w軸上の3点は、(1)と(2)の(1)の示した全面移動限界公式から求めた値であり、後者は前の周期により異なる点となる。図1は実測した砂の移動限界点が、前述の朝上2点に集中して進行、重成績のうち移動限界点は、(1)と(2)、(3)と(4)、(5)と(6)である。図1は、Snelles³⁾の底層・日半 及び 着荷によって定めた移動限界を示す。

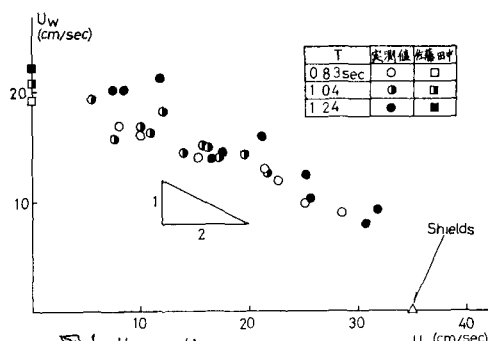


図1. U_w ~ U_{sw}

され、ほぼ同様な状態をもつてゐるものと想われる。 τ_{cu} は底質の摩擦係数、 τ_w は底質のせん断力である。

次に水底にはたうへせん断力の最大値と、流速による τ_{cu} の関係によるみかけられる式である。

$$\tau_w = \tau_{cu} + \tau_{w0} \quad (2)$$

τ_{w0} は次式より求めらる。

$$\tau_{cu} = \frac{1}{2} f u_{cu}^2, \quad f = \frac{27 n^2}{R^{1/3}} \quad (3)$$

$n = K R$: 構造、また Manning の n は、Manning-Strickler の公式 $n = 100 / (f L^{1/6})$ (ft/m) と求めた。一方、 τ_{w0} は、彼によると水底に生じる摩擦層の状態により 1 つ又は 2 つ以下の値である。

$$\text{層流境界層: } \tau_{w0} = \frac{\rho \sqrt{H}}{2 \sinh \frac{2 \pi x}{L}} \left\{ 2 \pi \left(\frac{1}{f} + \frac{u_{cu}}{L} \right) \right\}^{1/2} \quad (4)$$

$$\text{乱流境界層: } \tau_{w0} = \frac{1}{2} f_{w0} u_{cu}^2 \quad (5)$$

$$\frac{R^{1/6} L}{4 \sqrt{f_{w0}}} + \log \frac{1}{8 \sqrt{f_{w0}}} = -0.08 + \log \frac{u_{cu}}{R} \quad (6)$$

$= K u_{cu}$: 水底水粒子の振幅、 R : 底質粗度。

運動境界層の分類について。Manohar⁵⁾ は、振動境界層と実験結果から表 1 の様に定めた。 δ は境界層の厚さで規定する量が進行波の場合、 $\delta = \sqrt{K T} / \pi$ (ft) と表わされる。

本実験が発生させた波の場合は、 $\delta = \sqrt{K T} / \pi$ (ft) と表わされる。すなはち、 $\tau_w + \tau_{cu} = \text{const}$ の位置に限界点が来ている。流れの影響を考慮すると、ほとんどの場合、乱流境界層が形成されたものと想われる。図 2、又は図 3 は、それ故に、(3) 式、又は (3)(5) を用いて $\tau_w \sim \tau_{cu}$ を求めたものである。

いずれもほぼ、 $\tau_w + \tau_{cu} = \text{const}$ の位置に限界点が来ている。橋木ら⁶⁾ は、流れと波により合成された水粒子速度 U に対して、底部せん断力を $\tau_c = \rho f_1 U_1^2$ と定義した時、せん断力の作用方向の考察から、 $\tau_c = \tau_w + 0.5 \tau_{cu}$ であり、流れかせん断力に貢献する割合は少ない事を指摘している。図 1 の $\tau_w + 0.5 \tau_{cu} = \text{const}$ となる部分で、それは一概にあらうと考えると橋木ら⁶⁾ 定義したでは一定値とは! 図 2、図 3 の傾向と一致していることがうれしい。

<参考文献>

- 1) 土屋: 土木学会論文集, 第 80 号 (1962)
- 2) 佐藤・田中: 第 9 回海講論文集 (1962)
- 3) Jonsson, I.G.: 10th Coastal Eng. (1966)
- 4) Manohar, M.; B.E.B. Tech. Memo No. 15 (1955)
- 5) 前出 4)
- 6) 橋木・出日・鶴野: 第 2 回海講論文集 (1968)

| | 層流境界層 | 乱流境界層 |
|----------------------------------------------|--------------------------------|--------------------------------|
| 粒面領域 $\delta/d > 54$ | $\frac{u_{cu}\delta}{v} < 566$ | $\frac{u_{cu}\delta}{v} > 566$ |
| 遷移領域 $4.92 < \delta/d < 6.54$ | $\frac{u_{cu}\delta}{v} < 1.7$ | $\frac{u_{cu}\delta}{v} > 1.7$ |
| 粗面領域 $\delta/d < 6.54$ ($d = 3.5$ cm) | $u_{cu} d^{1/2} < 1.50$ | $u_{cu} d^{1/2} > 1.50$ |

表 1. 運動境界層の分類

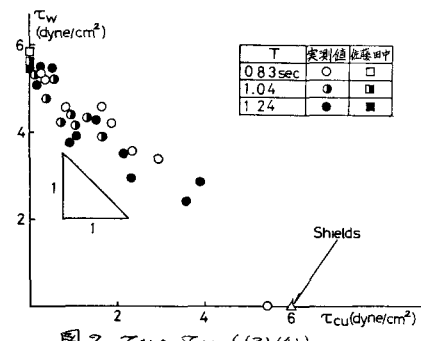


図 2 $\tau_w \sim \tau_{cu}$ ((3),(4))

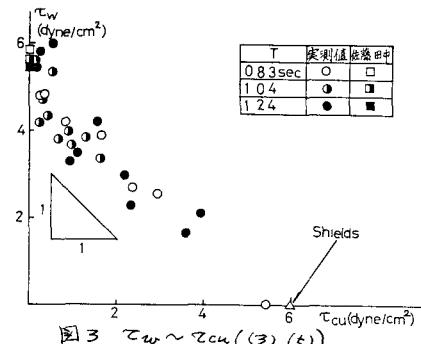


図 3 $\tau_w \sim \tau_{cu}$ ((3),(5))